



## 1.1 บทนำ

ในปัจจุบันการศึกษาคุณสมบัติทางฟิสิกส์ที่อุณหภูมิต่ำ ๆ มีความสำคัญเพราะทำให้เกิดปรากฏการณ์ต่าง ๆ ที่น่าสนใจ เช่นสภาพนำยิ่งยวด (superconductivity) และของไหลยิ่งยวด (superfluid) เป็นต้น นอกจากนี้การศึกษาที่อุณหภูมิต่ำ ๆ ยังเป็นการยืนยันทฤษฎีฟิสิกส์สมัยใหม่ ที่อุณหภูมิต่ำ ๆ การสั่นสะเทือนของอะตอมของของแข็งเนื่องจากอุณหภูมิก่อบจะไม่มี การประพุดตัวของอิเล็กตรอนจะทำให้เราเห็นปรากฏการณ์บางอย่างซึ่งเราไม่มีโอกาสเห็นที่อุณหภูมิสูง ตัวอย่างเช่นปรากฏการณ์ de Haas van Alphen หรือ cyclotron resonance เราสามารถทดสอบความถูกต้องของทฤษฎีฟิสิกส์ควอนตัมกับปรากฏการณ์เหล่านี้ได้ก็โดยการทดลองที่อุณหภูมิต่ำ ๆ เท่านั้น ดังนั้นจึงเป็นการดีที่เราจะเริ่มศึกษาการวิจัยที่อุณหภูมิต่ำ ๆ ขึ้น อย่างไรก็ตามอุณหภูมิต่ำ ๆ ที่กล่าวข้างบนในการทดลองมักจะต่ำจนถึงอุณหภูมิจนถึงฮีเลียมเหลว ( $4^{\circ}\text{K}$ ) หรือต่ำกว่านี้และเป็นที่น่าเสียดายว่าในประเทศไทยยังไม่มีฮีเลียมเหลวเพื่อใช้ในการทดลอง ดังนั้นในการวิจัยครั้งนี้เราจึงทำเพียงที่อุณหภูมิจนถึงไนโตรเจนเหลว ( $77^{\circ}\text{K}$ ) เท่านั้น

เนื่องจากการวิจัยที่อุณหภูมิต่ำ ๆ ครั้งนี้เป็นครั้งแรกในแผนก ดังนั้นจุดประสงค์ที่สำคัญในการวิจัยคือศึกษาและพัฒนาเทคนิคที่อุณหภูมิต่ำ ๆ โดยพยายามหาวัสดุและอุปกรณ์ต่าง ๆ ที่มีอยู่ในบ้านเรามาใช้ เช่นภาชนะใส่ไนโตรเจนเหลวขณะทดลอง และศึกษาการสร้างจุดสัมผัส (point contact) กับสารตัวอย่าง ซึ่งจะต้องทดลองใช้ได้ที่อุณหภูมิต้องและอุณหภูมิจนถึง  $77^{\circ}\text{K}$  โดยที่อุณหภูมิตั้งสองต่างกันมากกว่า  $200^{\circ}\text{C}$  เป็นเหตุให้สารตัวอย่างและวัสดุที่ใช้สร้างภาชนะใส่สารตัวอย่างหดตัวก่อให้เกิดปัญหา ในการสร้างจุดสัมผัสกับสารตัวอย่างต้องใช้วัสดุและวิธีการที่เหมาะสมจึงสามารถแก้ปัญหานี้ได้ รายละเอียดต่าง ๆ ได้กล่าวไว้ในบทที่ 3

นอกจากนี้จุดประสงค์ที่สำคัญอีกประการหนึ่งคือศึกษาผลที่ได้จากการวัด เปรียบเทียบกับทฤษฎีดังกล่าว แล้วข้างบน

การวิจัยแบ่งเป็น 2 เรื่องใหญ่ ๆ คือการวัดค่าความหนาแน่นของพาหะของสารกึ่งตัวนำกับโลหะ นอกจากนี้ยังเปรียบเทียบค่าเวลาผ่อนคลาย (relaxation time) ของโลหะระหว่างอุณหภูมิห้องกับอุณหภูมิ  $77^{\circ}\text{K}$  และการวัดค่าสภาพนำความร้อนของฉนวน สารตัวอย่างที่ใช้วัดค่าความหนาแน่นของพาหะคือซิลิกอน สารกึ่งตัวนำและทองแดงโดยอาศัยปรากฏการณ์ของฮอลล์ (Hall effect) กล่าวคือเมื่อให้กระแสไฟฟ้าไหลผ่านสารตัวอย่างในทิศ  $x$  และมีสนามแม่เหล็กในทิศ  $y$  แล้วจะเกิดความต่างศักย์ในทิศ  $z$  ของสารตัวอย่าง ซึ่งเรียกว่าความต่างศักย์ฮอลล์ (Hall voltage) วัดค่าความต่างศักย์ฮอลล์ที่ความเข้มสนามแม่เหล็กหลาย ๆ ค่าแล้วเขียนกราฟระหว่างความเข้มสนามแม่เหล็กและความต่างศักย์ฮอลล์ จากความชันของกราฟกระแสไฟฟ้าที่ไหลผ่านสารตัวอย่างและขนาดของสารตัวอย่าง สามารถนำไปคำนวณหาค่าความหนาแน่นของพาหะของสารตัวอย่างได้ และจากการวัดค่าความต่างศักย์ที่จุดสองจุดของสารตัวอย่าง เราสามารถวัดสภาพนำไฟฟ้าของสารนั้นได้ การทดลองที่กล่าวมานี้ทำทั้งที่อุณหภูมิห้องและที่  $77^{\circ}\text{K}$  จากข้อมูลที่ได้จากข้างบนเราจะสามารถศึกษาการเปลี่ยนแปลงของความหนาแน่นของพาหะและเวลาผ่อนคลายไปกับอุณหภูมิ จากนั้นเปรียบเทียบผลลัพธ์จากการทดลองเหล่านี้กับทฤษฎีได้ตามต้องการ

สำหรับการวัดค่าสภาพนำความร้อนของสาร วัตถุประสงค์ที่ใช้ในการทดลองคือกระจกใสและพลาสติกสีเหลืองบาง ๆ ที่มีความหนาสม่ำเสมอ เราสอดวัสดุนี้ระหว่างแผ่นให้ความร้อนและดูดความร้อน (heat source and heat sink) ซึ่งบรรจุอยู่ในกล่องที่สูบล้ออากาศออกเพื่อป้องกันการพาความร้อนจากการวัดอุณหภูมิที่ผิวทั้งสองของสารตัวอย่าง เราสามารถคำนวณสภาพนำความร้อนของสารตัวอย่างที่อุณหภูมิต่าง ๆ ได้

จากการทดลองนี้เราจะทราบการเปลี่ยนแปลงของสภาพนำความร้อนของสารต่าง ๆ ไปกับอุณหภูมิ สามารถนำไปเทียบเพื่อทดสอบความถูกต้องของทฤษฎีที่มีอยู่เดิมได้ นอกจากนี้เรายังสามารถนำเครื่องมือนี้ไปวัดสภาพนำความร้อนของสารต่าง ๆ ที่เราต้องการทราบได้ตามต้องการ ซึ่งค่าเหล่านี้เป็นสิ่งที่เราจะต้องทราบเมื่อเราต้องการจะใช้วัสดุเหล่านี้ในการใช้งาน รายละเอียดเกี่ยวกับการวัดและทฤษฎีที่เกี่ยวข้องจะกล่าวโดยละเอียดต่อไป

1.2 สมการโบลท์ซมาน (Boltzmann equation)

ปรากฏการณ์การเคลื่อนย้ายสามารถอธิบายได้ด้วยสมการโบลท์ซมาน ซึ่งจะได้กล่าวรายละเอียดต่อไป ก่อนอื่นเราควรทราบว่าปรากฏการณ์การเคลื่อนย้ายคืออะไร การเคลื่อนที่ของพาหะเนื่องจากอิทธิพลของแรงภายนอกหรือเกรเดียนท์ของความหนาแน่น (density gradient) เรียกว่าปรากฏการณ์การเคลื่อนย้าย (transport phenomena) เช่นการนำไฟฟ้าและการนำความร้อน ในกรณีการนำไฟฟ้าพาหะที่เคลื่อนย้ายประจุไฟฟ้าคืออิเล็กตรอนอิสระหรือโฮล (hole) และในกรณีการนำความร้อนถ้าเป็นโลหะพาหะส่วนมากที่เป็นตัวพาพลังงานความร้อนคืออิเล็กตรอนอิสระ สำหรับฉนวนพาหะที่เคลื่อนย้ายพลังงานความร้อนคือโฟนอน (phonon) การเคลื่อนที่ของพาหะเหล่านี้ถูกกระเจิงได้จากโฟนอน, อสุทธิอะตอม (impurity atoms) และการผิดปกติของแลตทิซ (lattice defects) เป็นต้น ทำให้เกิดสภาพต้านทาน (resistivity) ขึ้น ในการพิจารณาปัญหาเหล่านี้เราจะพิจารณาในกรณีที่สนามภายนอกมีค่าคงที่เท่านั้น

ให้  $f_k(\vec{r}, t) d^3k d^3r$  คือความหนาแน่นของพาหะในบริเวณ  $d^3k$  ในระวางที่  $k(k - space)$  และในบริเวณ  $d^3r$  ในระวางที่จริง (real space)  $f_k(\vec{r})$  จะมีค่าเปลี่ยนแปลงไปตามเวลาด้วยเหตุ 3 ประการคือ

1) การฟุ้งกระจาย (Diffusion) คือการที่พาหะเคลื่อนที่เข้าหรือออกจากบริเวณ  $\vec{r}$  สมมติว่าความเร็วของพาหะที่มีเวกเตอร์คลื่น (wave vector)  $\vec{k}$  คือ  $\vec{v}_k$  เมื่อเวลาผ่านไป  $t$  พาหะนี้เคลื่อนที่ไปได้ระยะทาง  $\vec{v}_k t$  จากทฤษฎีของหลุยส์วิล (Liouville's theorem) จำนวนพาหะในบริเวณรอบ  $\vec{r}$  ที่เวลา  $t$  มีค่าเท่ากับจำนวนพาหะในบริเวณรอบ  $\vec{r} - \vec{v}_k t$  ที่เวลา  $t = 0$  นั่นคือ

$$f_k(\vec{r}, t) = f_k(\vec{r} - \vec{v}_k t, 0) \tag{1.2.1}$$

ให้  $\left. \frac{\partial f_k}{\partial t} \right|_d$  คืออัตราการเปลี่ยนแปลงของ  $f_k$  เนื่องจากการฟุ้งกระจาย จากสมการ (1.2.1) เราได้

$$\begin{aligned}
 \left. \frac{\partial f_{\vec{k}}}{\partial t} \right|_d &= \frac{\partial f_{\vec{k}}}{\partial t} (\vec{r} - \vec{v}_{\vec{k}} t, 0) \\
 &= \frac{\partial f_{\vec{k}}}{\partial (\vec{r} - \vec{v}_{\vec{k}} t)} \frac{\partial (\vec{r} - \vec{v}_{\vec{k}} t)}{\partial t} \\
 &= - \vec{v}_{\vec{k}} \frac{\partial f_{\vec{k}}}{\partial \vec{r}} \quad (1.2.2)
 \end{aligned}$$

2) สนามภายนอก (External field) ทำให้พาทะมีเวกเตอร์คลื่น  $\vec{k}$  เปลี่ยนไปด้วยอัตรา

$$\dot{\vec{k}} = \frac{e}{\hbar} (\vec{E} + \vec{v}_{\vec{k}} \times \vec{B}) \quad (1.2.3)$$

เราสามารถมองดูเหมือนกับว่าเป็นความเร็วของพาทะในระวางที่  $\vec{k}$  เดิมพาทะมีเวกเตอร์คลื่น  $\vec{k}$  เมื่อใส่สนามภายนอกไว้จนกระทั่งเวลาผ่านไป  $t$  พาทะจะมีเวกเตอร์คลื่นเป็น  $\vec{k} - \dot{\vec{k}}t$  สอดคล้องกับสมการ (1.2.1) เราได้

$$f_{\vec{k}}(\vec{r}, t) = f_{\vec{k}-\dot{\vec{k}}t}(\vec{r}, 0) \quad (1.2.4)$$

ให้  $\left. \frac{\partial f_{\vec{k}}}{\partial t} \right|_f$  คืออัตราการเปลี่ยนแปลงของ  $f_{\vec{k}}$  เนื่องจากสนามภายนอก จากสมการ (1.2.4) เราได้

$$\begin{aligned}
 \left. \frac{\partial f_{\vec{k}}}{\partial t} \right|_f &= \frac{\partial f_{\vec{k}-\dot{\vec{k}}t}}{\partial t} \\
 &= -\dot{\vec{k}} \frac{\partial f_{\vec{k}}}{\partial \vec{k}} \\
 &= - \frac{e}{\hbar} (\vec{E} + \vec{v}_{\vec{k}} \times \vec{B}) \frac{\partial f_{\vec{k}}}{\partial \vec{k}} \quad (1.2.5)
 \end{aligned}$$

3) การกระเจิง (Scattering) การกระเจิงของพาหะอาจเนื่องจากสาเหตุต่าง ๆ หลายประการ ผลของการกระเจิงนี้ยิ่งยากมาก ในที่นี้คิดว่าส่วนมากเป็นการกระเจิงแบบยืดหยุ่น จะได้อัตราการเปลี่ยนแปลงของ  $f_k$  เนื่องจากการกระเจิงว่า

$$\left. \frac{\partial f_k}{\partial t} \right|_s = \int \left[ f_{k'} (1-f_k) - f_k (1-f_{k'}) \right] Q(\vec{k}, \vec{k}') d\vec{k}' \quad (1.2.6)$$

การกระเจิงจากสภาวะ  $\vec{k}$  ไปยังสภาวะ  $\vec{k}'$  เป็นการลดค่า  $f_k$  ความน่าจะเป็นของการกระเจิงแบบนี้ขึ้นกับจำนวนพาหะในสภาวะ  $\vec{k}$  คือ  $f_k$  และจำนวนที่ว่างที่ยังอยู่ได้ในสภาวะ  $\vec{k}'$  คือ  $(1 - f_{k'})$  ในทำนองเดียวกันก็มีการกระเจิงจากสภาวะ  $\vec{k}'$  มายังสภาวะ  $\vec{k}$  ด้วยเป็นการเพิ่มค่า  $f_k$   $Q(\vec{k}, \vec{k}')$  คือความน่าจะเป็นในการเปลี่ยนสภาวะซึ่งมีค่าเหมือนกันไม่ว่าจะเปลี่ยนจากสภาวะ  $\vec{k}$  ไปยัง  $\vec{k}'$  หรือจากสภาวะ  $\vec{k}'$  มายัง  $\vec{k}$

สมการของโบลต์ซมานกล่าวไว้ที่จุดใด ๆ และค่าเวกเตอร์คลื่น  $\vec{k}$  ใด ๆ ผลรวมของอัตราการเปลี่ยนแปลงของ  $f_k$  มีค่าเป็นศูนย์ นั่นคือ

$$\left. \frac{\partial f_k}{\partial t} \right|_s + \left. \frac{\partial f_k}{\partial t} \right|_f + \left. \frac{\partial f_k}{\partial t} \right|_d = 0 \quad (1.2.7)$$

สมการ (1.2.7) แสดงว่า  $f_k$  อยู่ในสภาวะสเทอดิ (steady state) สภาวะนี้ไม่ใช่สภาวะสมดุลย์ (equilibrium state) เพราะสภาวะสมดุลย์เป็นสภาวะที่ไม่เปลี่ยนแปลงภายนอกและไม่มีเกรเดียนต์ของอุณหภูมิซึ่งแทนได้ด้วย  $f_k^0$  ถ้าเราแทนค่าสมการ (1.2.2) และ (1.2.5) ในสมการ (1.2.7) จะได้

$$-\vec{v}_k \frac{\partial f_k}{\partial \vec{r}} - \frac{e}{\hbar} (\vec{E} + \vec{v}_k \times \vec{B}) \frac{\partial f_k}{\partial \vec{k}} = - \left. \frac{\partial f_k}{\partial t} \right|_s \quad (1.2.8)$$

ในสภาวะใกล้สมดุลย์  $f_k$  จะต่างจาก  $f_k^0$  ไม่มากนัก ในกรณีนี้เราให้

$$g_k = f_k - f_k^0 \quad (1.2.9)$$

เมื่อ  $g_k$  มีค่าน้อย ๆ จากฟังก์ชันการแจกแจงของเฟอร์มี-ไดแรค (Fermi - Dirac distribution function) เราได้

$$f_k^0 = \frac{1}{\exp \left[ (\epsilon_k - \zeta) / k_B T \right] + 1} \quad (1.2.10)$$

$$= f^0(\epsilon_k)$$

ดิฟเฟอเรนเชียลสมการ (1.2.9) เทียบกับ  $\vec{r}$  จะได้

$$\frac{\partial g_k}{\partial \vec{r}} = \frac{\partial f_k}{\partial \vec{r}} - \frac{\partial f_k^0}{\partial \vec{r}} \quad (1.2.11)$$

พิจารณาเทอม  $\frac{\partial f_k^0}{\partial \vec{r}}, \frac{\partial f_k^0}{\partial \vec{r}} = \frac{\partial}{\partial \vec{r}} \left[ \frac{1}{\exp \left[ (\epsilon_k - \zeta) / k_B T \right] + 1} \right]$

เนื่องจาก  $\zeta$  และ  $T$  เป็นฟังก์ชันของ  $\vec{r}$  ในสมการข้างบนเราได้

$$\frac{\partial f_k^0}{\partial \vec{r}} = \frac{\partial f_k^0}{\partial \zeta} \frac{\partial \zeta}{\partial \vec{r}} + \frac{\partial f_k^0}{\partial T} \frac{\partial T}{\partial \vec{r}}$$

แต่  $\frac{\partial f_k^0}{\partial \zeta} = \frac{1}{\left[ \exp \left[ (\epsilon_k - \zeta) / k_B T \right] + 1 \right]^2} \exp \left[ (\epsilon_k - \zeta) / k_B T \right] \left( - \frac{1}{k_B T} \right)$

$$\frac{\partial \zeta}{\partial \vec{r}} = \vec{\nabla} \zeta$$

$$\frac{\partial f_k^0}{\partial T} = - \frac{1}{\left[ \exp \left[ (\epsilon_k - \zeta) / k_B T \right] + 1 \right]^2} \exp \left[ (\epsilon_k - \zeta) / k_B T \right] \left( \frac{\epsilon_k - \zeta}{k_B} \right) \left( - \frac{1}{T^2} \right)$$

$$\frac{\partial T}{\partial \vec{r}} = \vec{\nabla} T$$

ดังนั้น

$$\frac{\partial f_k^0}{\partial \vec{r}} = - \frac{\exp \left[ (\epsilon_k - \zeta) / k_B T \right]}{\left[ \exp \left[ (\epsilon_k - \zeta) / k_B T \right] + 1 \right]^2} \left( - \frac{1}{k_B T} \right) \left[ \vec{\nabla} \zeta + \frac{\epsilon_k - \zeta}{T} \vec{\nabla} T \right]$$

เนื่องจาก

$$\frac{\partial f_k^0}{\partial \epsilon} = - \frac{\exp \left[ (\epsilon_k - \zeta) / k_B T \right]}{\left[ \exp \left[ (\epsilon_k - \zeta) / k_B T \right] + 1 \right]^2} \left( \frac{1}{k_B T} \right)$$

สมการข้างบนอาจเขียนได้เป็น

$$\frac{\partial f_k^0}{\partial \vec{r}} = - \frac{\partial f_k^0}{\partial \epsilon} \left[ \vec{\nabla} \zeta + \frac{(\epsilon_k - \zeta)}{T} \vec{\nabla} T \right] \quad (1.2.12)$$

แทนค่าสมการ (1.2.12) ในสมการ (1.2.11) จะได้

$$\frac{\partial f_k}{\partial \vec{r}} = \frac{\partial g_k}{\partial \vec{r}} + \frac{\partial f_k^0}{\partial \epsilon} \left[ \vec{\nabla} \zeta + \frac{(\epsilon_k - \zeta)}{T} \vec{\nabla} T \right] \quad (1.2.13)$$

ดิฟเฟอเรนเชียลสมการ (1.2.9) เทียบกับ  $\vec{k}$  จะได้

$$\begin{aligned} \frac{\partial f_k}{\partial \vec{k}} &= \frac{\partial g_k}{\partial \vec{k}} + \frac{\partial f_k^0}{\partial \vec{k}} \\ &= \frac{\partial g_k}{\partial \vec{k}} + \frac{\partial f_k^0}{\partial \epsilon} \frac{\partial \epsilon}{\partial \vec{k}} \\ &= \frac{\partial g_k}{\partial \vec{k}} + \frac{\partial f_k^0}{\partial \epsilon} \hbar \vec{v}_k \end{aligned} \quad (1.2.14)$$

เมื่อ  $\vec{v}_k$  คือความเร็วของพาหะ ดังนั้นจากสมการ (1.2.5) เราจะได้

$$\begin{aligned} -\frac{e}{\hbar} (\vec{E} + \vec{v}_k \times \vec{B}) \frac{\partial f_k}{\partial \vec{k}} &= -\frac{e}{\hbar} (\vec{E} + \vec{v}_k \times \vec{B}) \left( \frac{\partial g_k}{\partial \vec{k}} + \hbar \vec{v}_k \frac{\partial f_k^0}{\partial \epsilon} \right) \\ &= -\frac{e}{\hbar} \vec{E} \frac{\partial g_k}{\partial \vec{k}} - \frac{e}{\hbar} \vec{E} \frac{\partial f_k^0}{\partial \epsilon} \hbar \vec{v}_k - \frac{e}{\hbar} \vec{v}_k \times \vec{B} \frac{\partial g_k}{\partial \vec{k}} \\ &\quad - \frac{e}{\hbar} \vec{v}_k \times \vec{B} \frac{\partial f_k^0}{\partial \epsilon} \hbar \vec{v}_k \end{aligned}$$

เนื่องจาก  $\vec{E} \frac{\partial g_k}{\partial \vec{k}}$  อยู่ในลำดับ (order) ของ  $E^2$  ตัดทิ้งได้เพราะต่างไปจากกฎของโอห์ม และเพราะ  $\vec{v}_k \cdot \vec{v}_k \times \vec{B} = 0$  สมการข้างบนกลายเป็น

$$-\frac{e}{\hbar} (\vec{E} + \vec{v}_k \times \vec{B}) \frac{\partial f_k}{\partial \vec{k}} = -e \vec{E} \frac{\partial f_k^0}{\partial \epsilon} \vec{v}_k - \frac{e}{\hbar} \vec{v}_k \times \vec{B} \frac{\partial g_k}{\partial \vec{k}} \quad (1.2.15)$$

แทนค่าสมการ (1.2.13) และสมการ (1.2.15) ในสมการ (1.2.8) จะได้

$$\begin{aligned} -\vec{v}_k \left[ \frac{\partial g_k}{\partial \vec{r}} - \frac{\partial f_k^0}{\partial \epsilon} \left[ \nabla \zeta + \frac{(\epsilon_k - \zeta)}{T} \nabla T \right] \right] - e \vec{E} \frac{\partial f_k^0}{\partial \epsilon} \vec{v}_k - \frac{e}{\hbar} \vec{v}_k \times \vec{B} \frac{\partial g_k}{\partial \vec{k}} \\ = - \frac{\partial f_k}{\partial t} \Big|_s \\ \left( - \frac{\partial f_k^0}{\partial \epsilon} \right) \vec{v}_k \left[ - \frac{(\epsilon_k - \zeta)}{T} \vec{v}_T + e (\vec{E} - \frac{1}{e} \nabla \zeta) \right] = - \frac{\partial f_k}{\partial t} \Big|_s + \vec{v}_k \frac{\partial g_k}{\partial \vec{r}} \\ + \frac{e}{\hbar} (\vec{v}_k \times \vec{B}) \frac{\partial g_k}{\partial \vec{k}} \quad (1.2.16) \end{aligned}$$



สมการ (1.2.16) คือสมการโบลทซ์มานเชิงเส้น<sup>1</sup> ถ้าแทนค่าสมการ (1.2.6) ในสมการ (1.2.16) เราจะเห็นว่าสมการโบลทซ์มานก็คือสมการอินทิกรัล-ดิฟเฟอเรนเชียลเชิงเส้น (linear integro-differential) ของการไม่สมดุลของฟังก์ชันการแจกแจง  $g_k(\vec{r})$  ซึ่งถูกกำหนดโดยความเข้มของสนามไฟฟ้าและเกรเดียนต์ของอุณหภูมิ

### 1.3 สภาพนำไฟฟ้า (Electrical conductivity)

สภาพนำไฟฟ้าสามารถหามาจากสมการโบลทซ์มานเชิงเส้นได้ดังนี้ คิดว่ามีแต่เพียงสนามไฟฟ้า  $\vec{E}$  อย่างเดียว ในกรณีนี้  $\zeta$  และ  $T$  มีค่าคงที่ไม่ขึ้นกับ  $\vec{r}$  ดังนั้นจากสมการ (1.2.16) เราได้

$$\begin{aligned} -\frac{\partial f_k^0}{\partial \epsilon} \vec{v}_k \cdot e\vec{E} &= -\left. \frac{\partial f_k}{\partial t} \right|_s \\ &= \int (f_k - f_{k'}) Q(\vec{k}, \vec{k}') d\vec{k}' \\ &= \int (g_k - g_{k'}) Q(\vec{k}, \vec{k}') d\vec{k}' \end{aligned} \quad (1.3.1)$$

อัตราการกลับสู่สภาวะสมดุลเนื่องจากการกระเจิงเป็นสัดส่วนโดยตรงกับสภาวะที่เปลี่ยนแปลงไป นั่นคือ

$$\begin{aligned} -\left. \frac{\partial f_k}{\partial t} \right|_s &= \frac{f_k - f_k^0}{\tau} \\ &= \frac{g_k}{\tau} \end{aligned} \quad (1.3.2)$$

โดยที่  $\tau$  คือเวลาผ่อนคลาย (relaxation time) ซึ่งมีค่าคงที่ในสภาวะหนึ่ง ๆ จากข้างบนเราได้

$$\frac{\partial g_k}{\partial t} = -\frac{g_k}{\tau}$$

นั่นคือ 
$$g_k(t) = g_k(0) \exp(-t/\tau)$$

แทนค่าสมการ (1.3.2) ในสมการ (1.3.1) จะได้

$$g_k = \left( \frac{-\partial f_k^0}{\partial \epsilon} \right) \tau \vec{v}_k \cdot e\vec{E} \quad (1.3.3)$$

จากความหนาแน่นของกระแสไฟฟ้า 
$$\vec{J} = e \int_0^\infty \vec{v}(\epsilon) N(\epsilon) d\epsilon \quad (1.3.4)$$

เมื่อ  $N(\epsilon) d\epsilon$  คือจำนวนอิเล็กตรอนที่มีพลังงานอยู่ระหว่าง  $\epsilon$  และ  $\epsilon + d\epsilon$  โดยที่

$$N(\epsilon) d\epsilon = 2D(\epsilon) f(\epsilon) d\epsilon$$

เมื่อ  $D(\epsilon) d\epsilon$  เป็นความหนาแน่นของสภาวะ (density of state) ของอิเล็กตรอนในช่วงพลังงาน  $d\epsilon$  และ  $f(\epsilon)$  คือความน่าจะเป็นของอิเล็กตรอนที่จะอยู่ในสภาวะพลังงาน  $\epsilon$  จากสมการ (1.3.4) เราได้

$$\begin{aligned} \vec{J} &= 2e \int_0^\infty \vec{v}(\epsilon) D(\epsilon) f(\epsilon) d\epsilon \\ &= 2e \int_{-\infty}^\infty \vec{v}(k) D(k) f(k) d\vec{k} \end{aligned}$$

เนื่องจาก  $D(k) d\vec{k} = \frac{V}{(2\pi)^3} d\vec{k}$  ดังนั้นสมการข้างบนกลายเป็น

$$\begin{aligned} \vec{J} &= \frac{2eV}{(2\pi)^3} \int \vec{v}_k f_k d\vec{k} \\ &= \frac{eV}{4\pi^3} \int \vec{v}_k g_k d\vec{k} \quad (\text{เนื่องจาก } \int \vec{v}_k f_k^0 d\vec{k} = 0) \end{aligned}$$

แทนค่า  $g_{\mathbf{k}}$  จากสมการ (1.3.3) ในสมการข้างบน จะได้

$$\vec{J} = \frac{eV}{4\pi} \int \vec{v}_{\mathbf{k}} \left( \frac{-\partial f_{\mathbf{k}}^0}{\partial \epsilon} \right) \tau \vec{v}_{\mathbf{k}} \cdot e\vec{E} d\mathbf{k} \quad (1.3.5)$$

จากกฎของโอห์ม  $\vec{J} = \vec{\sigma} \vec{E}$  เทียบกับสมการ (1.3.5) เราได้

$$\vec{\sigma} = \frac{Ve^2}{4\pi} \int \tau \vec{v}_{\mathbf{k}} \vec{v}_{\mathbf{k}} \left( \frac{-\partial f_{\mathbf{k}}^0}{\partial \epsilon} \right) d\mathbf{k}$$

เทอม  $\left( \frac{-\partial f_{\mathbf{k}}^0}{\partial \epsilon} \right)$  ประพจน์ตัวคล้าย ๆ กับเป็นเดลตาฟังก์ชัน (delta function) ที่พื้นที่ผิวเฟอร์มี (Fermi surface) เราเปลี่ยนจากการอินทิเกรตปริมาตร (volume integral) ของเวกเตอร์คลื่น  $\vec{k}$  เป็นการอินทิเกรตพื้นที่ผิว (surface integral) ของพลังงานที่คงที่ จะได้

$$\begin{aligned} \vec{\sigma} &= \frac{Ve^2}{4\pi} \left( \int \tau \vec{v}_{\mathbf{k}} \vec{v}_{\mathbf{k}} \delta(\epsilon - \epsilon_F) \frac{dS}{|\text{grad}_{\mathbf{k}} \epsilon|} d\epsilon \right) \\ &= \frac{Ve^2}{4\pi} \int \tau \vec{v}_{\mathbf{k}} \vec{v}_{\mathbf{k}} \frac{dS_F}{\hbar v_F} \\ \vec{\sigma} &= \frac{V}{4\pi^3} \frac{e^2 \tau}{\hbar} \int \frac{\vec{v}_{\mathbf{k}} \vec{v}_{\mathbf{k}}}{v_F} dS_F \quad (1.3.6) \end{aligned}$$

$\vec{\sigma}$  ในสมการ (1.3.6) คือเทนเซอร์ของสภาพนำไฟฟ้า (conductivity tensor) สำหรับผลึกที่มีสมมาตรลูกบาศก์ เทนเซอร์ของสภาพนำไฟฟ้าจะกลายเป็นสเกลาร์ พิจารณากรณีที่  $\vec{E}$  และ  $\vec{J}$  อยู่ในทิศ  $x$  จากสมการ (1.3.6) เราได้

$$\sigma = \frac{V}{4\pi^3} \frac{e^2 \tau}{\hbar} \int \frac{v_x^2}{v_F} dS_F \quad (1.3.7)$$

สำหรับสมมาตรลูกบาศก์  $\langle v_x^2 \rangle = \frac{1}{3} v_F^2$  จากสมการ (1.3.7) จะได้

$$\sigma = \frac{v}{4\pi^3} \frac{e^2 \tau}{\hbar} \left( \frac{1}{3} v_F \int dS_F \right)$$

ถ้าพื้นที่ผิวเฟอร์มิเป็นรูปทรงกลม สมการข้างบนกลายเป็น

$$\sigma = \frac{v}{4\pi^3} \frac{e^2 \tau}{\hbar} \frac{1}{3} v_F 4\pi k_F^2 \quad (1.3.8)$$

โดยที่  $k_F = (3\pi^2 n/V)^{1/3}$  เมื่อ  $n$  คือความหนาแน่นของอิเล็กตรอนในหนึ่งหน่วยปริมาตรและ  $v$  คือ ปริมาตร และจาก  $m^* v_F = \hbar k_F$  จะได้  $v_F = \frac{\hbar k_F}{m^*}$

แทนค่า  $v_F$  และ  $k_F$  ในสมการ (1.3.8) เราได้

$$\sigma = \frac{v}{4\pi^3} \frac{e^2 \tau}{\hbar} \frac{1}{3} \frac{\hbar}{m^*} 4\pi \frac{3\pi^2 n}{v}$$

$$\sigma = \frac{ne^2 \tau}{m^*} \quad (1.3.9)$$

เราพิจารณาว่าสภาพนำไฟฟ้าเป็นฟังก์ชันของอุณหภูมิอย่างไร ในกรณีของโลหะค่า  $n$  เปลี่ยนไปกับอุณหภูมิน้อยมาก  $e$  และ  $m^*$  เป็นค่าคงที่ ดังนั้นสภาพนำไฟฟ้าเป็นฟังก์ชันกับอุณหภูมิตามเวลาผ่อนคลายที่เปลี่ยนไปกับอุณหภูมิ แต่ส่วนมากเราจะพิจารณาสภาพต้านทานไฟฟ้า (resistivity) ซึ่งเป็นส่วนกลับกับสภาพนำไฟฟ้าว่ามีค่าเปลี่ยนไปกับอุณหภูมิอย่างไร จากสมการ (1.3.9) เราได้

$$\rho = \frac{m^*}{ne^2 \tau} \quad (1.3.10)$$

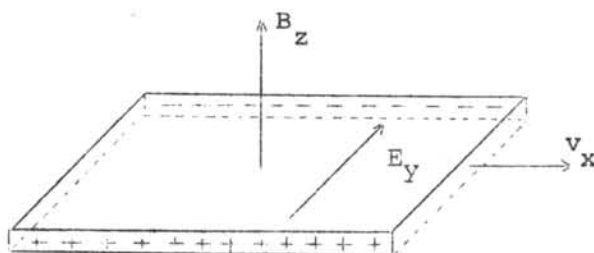
กำหนด  $\tau = v_F \Lambda$  เมื่อ  $\Lambda$  คือวิถีอิสระเฉลี่ย (mean free path) และ  $v_F$  เป็นความเร็วเฉลี่ยของอิเล็กตรอนที่พื้นที่ผิว. ฟอริมี จากสมการ (1.3.10) เราได้

$$\rho = \frac{m^*}{ne^2 v_F \Lambda} \quad (1.3.11)$$

เนื่องจาก  $v_F$  ไม่ขึ้นกับอุณหภูมิ ดังนั้นจากสมการ (1.3.11) จะเห็นว่าสภาพต้านทานไฟฟ้ามีค่าเปลี่ยนแปลงไปกับอุณหภูมิตามค่า  $\frac{1}{\Lambda}$  พบว่าที่อุณหภูมิต่ำ ( $\theta/T \ll 1$ ),  $\frac{1}{\Lambda}$  เป็นสัดส่วนโดยตรงกับ  $T$  และที่อุณหภูมิต่ำ ( $\theta/T \gg 1$ ),  $\frac{1}{\Lambda}$  เป็นสัดส่วนโดยตรงกับ  $T^5$  นั่นคือ สภาพต้านทานไฟฟ้าของโลหะที่อุณหภูมิต่ำมีค่าเป็นสัดส่วนโดยตรงกับ  $T$  และที่อุณหภูมิต่ำมีค่าเป็นสัดส่วนโดยตรงกับ  $T^5$

#### 1.4 ปรากฏการณ์ของฮอลล์ (Hall effect)

ในการวิจัย เราใช้ปรากฏการณ์ของฮอลล์เพื่อหาค่าความหนาแน่นของพาหะที่อุณหภูมิต่าง ๆ เพื่อจะศึกษาการเปลี่ยนแปลงของความหนาแน่นนี้ไปกับอุณหภูมิต่างชนิดกัน ปรากฏการณ์ของฮอลล์เกิดขึ้นได้ดังนี้ เมื่อวางสารตัวอย่างไว้ในสนามแม่เหล็กและมีกระแสไฟฟ้าไหลผ่านสารตัวอย่างในทิศตั้งฉากกับทิศของสนามแม่เหล็ก จะเกิดความต่างศักย์ระหว่างด้านทั้งสองของสารตัวอย่างที่ตั้งฉากกับทิศของสนามแม่เหล็กและทิศของกระแสไฟฟ้า ดังแสดงในรูป 1.1 ปรากฏการณ์นี้เรียกว่า ปรากฏการณ์ของฮอลล์ ความต่างศักย์ที่เกิดขึ้นเรียกว่า ความต่างศักย์ของฮอลล์ และสนามไฟฟ้าที่เกิดขึ้นนี้เรียกว่า สนามของฮอลล์ (Hall field) ปรากฏการณ์ของฮอลล์นอกจากจะใช้หาความหนาแน่นของพาหะแล้วยังสามารถบ่งชนิดของพาหะด้านนำของสารนั้นได้ว่าเป็นอิเล็กตรอนหรือโฮล



รูปที่ 1.1 ปรากฏการณ์ของฮอลล์ในการวัดพาหะด้านนำคืออิเล็กตรอน

สำหรับประจุ  $q$  ซึ่งวิ่งด้วยความเร็ว  $\vec{v}$  ในสนามแม่เหล็ก  $\vec{B}$  และสนามไฟฟ้า  $\vec{E}$  แรงลอเรนตซ์ (Lorentz force) ที่กระทำต่อประจุคือ

$$\vec{F} = q(\vec{E} + \vec{v} \times \vec{B}) \quad (1.4.1)$$

ถ้าสารตัวอย่างมีสนามแม่เหล็กในทิศ  $z$  และสนามไฟฟ้าในทิศ  $x$  จะเกิดสนามของฮอลล์ในทิศ  $y$  ดังรูป 1.1 และแรงที่กระทำต่อพาหะเนื่องจากสนามแม่เหล็กต้องหักล้างกับแรงที่กระทำต่อพาหะเนื่องจากสนามของฮอลล์<sup>2</sup> ดังนั้นจากสมการ (1.4.1) เราได้

$$F_y = 0 = q(E_y - v_x B_z) \quad (1.4.2)$$

$$E_y = v_x B_z \quad (1.4.2)$$

จาก  $j_x = nev_x \quad (1.4.3)$

เมื่อ  $j_x$  คือกระแสไฟฟ้าต่อหนึ่งหน่วยพื้นที่ (current density) และ  $n$  คือความหนาแน่นของพาหะต่อหนึ่งหน่วยปริมาตร แทนค่า  $v_x$  จากสมการ (1.4.3) ในสมการ (1.4.2) จะได้

$$E_y = \frac{j_x B_z}{ne}$$

หรือ  $\frac{E_y}{j_x B_z} = \frac{1}{ne} \quad (1.4.4)$

อัตราส่วน  $\frac{E_y}{j_x B_z}$  เรียกว่าค่า  $R_H$  ของฮอลล์ (Hall constant -  $R_H$ ) มีค่าเป็นบวกสำหรับโฮล และเป็นลบสำหรับอิเล็กตรอน

$$\begin{aligned} R_H &\equiv \frac{E_y}{j_x B_z} \\ &= \frac{1}{ne} \end{aligned} \quad (1.4.5)$$

ถ้าสารตัวอย่างมีลักษณะเป็นรูปสี่เหลี่ยมผืนผ้าหนา  $b$  หน่วยและกว้าง  $a$  หน่วย เราได้

$$V_y = a \vec{E}_y \quad \text{และ} \quad I_x = ab j_x \quad \text{นั่นคือ}$$

$$R_H = \frac{bV_y}{I_x B_z} \quad (1.4.6)$$

$$\text{และ} \quad n = \frac{I_x B_z}{ebV_y} \quad (1.4.7)$$

ในกรณีที่ไม่มีสนามแม่เหล็ก กระแสไฟฟ้าต่อหนึ่งหน่วยพื้นที่จะสม่ำเสมอ (uniform) ก็ต่อเมื่อ สมมุติว่าสารตัวอย่างนี้ยาวมาก แต่ในทางปฏิบัติจริง ๆ แล้วเป็นไปไม่ได้เนื่องจากความยาวของ สารตัวอย่างจำกัด พบว่าถ้าความยาวยาวกว่าความกว้าง 4 เท่าขึ้นไปถือได้ว่าข้อผิดพลาดในกรณี นี้้น้อยมากจะทิ้งได้ แต่ถ้าความยาวของสารตัวอย่างเท่ากับความกว้าง ค่าความต่างศักย์ของฮอลล์ จะลดลงเหลือประมาณ 0.7 เท่าของความยาวไม่จำกัด<sup>3</sup>

ในกรณีของโลหะความหนาแน่นของพาหะมีค่าเปลี่ยนไปกับอุณหภูมิอย่างมาก สามารถ ประมาณให้อยู่ในรูปความหนาแน่นของอะตอมได้ดังนี้<sup>4</sup>

$$n \approx z n_{at.} \quad (1.4.8)$$

เมื่อ  $z$  คือจำนวนวาเลนซ์อิเล็กตรอนและ  $n_{at.}$  คือความหนาแน่นของอะตอมต่อหนึ่งหน่วย ปริมาตร แทนค่าสมการ (1.4.8) ในสมการ (1.4.5) จะได้

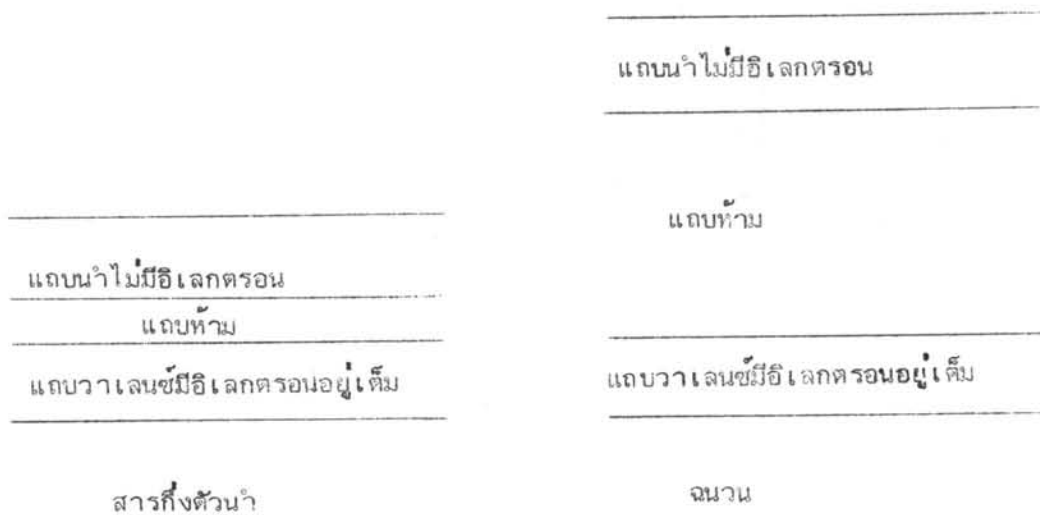
$$R_H \approx \frac{1}{ezn_{at.}}$$

$$z_{exp} = \frac{1}{en_{at.} R_H} \quad (1.4.9)$$

สมการ (1.4.9) ใช้ได้ดีในกรณีของโลหะที่มีวาเลนซ์อิเล็กตรอนเท่ากับหนึ่ง (monovalent metal)

### 1.5 สารกึ่งตัวนำ (Semiconductor)

สารกึ่งตัวนำที่สำคัญได้แก่ ซิลิกอนและเยอรมาเนียม ซึ่งอยู่ในกลุ่มที่ IV ของตารางธาตุ (periodic table) สารกึ่งตัวนำเป็นสารที่มีค่าสภาพต้านทานไฟฟ้าอยู่ระหว่างโลหะและฉนวน ถ้าพิจารณาแถบพลังงาน (energy band) พบว่าแถบห้าม (forbidden band) ที่อยู่ระหว่างแถบนำ (conduction band) และแถบวาเลนซ์ (valence band) แคบมาก เมื่อเทียบกับฉนวน ดังแสดงในรูป 1.2



รูปที่ 1.2 แถบพลังงานของสารกึ่งตัวนำที่  $0^{\circ}\text{K}$  เทียบกับฉนวน

#### 1.5.1 สารกึ่งตัวนำอินทรินซิก<sup>5</sup> (Intrinsic semiconductor)

ที่อุณหภูมิ  $0^{\circ}\text{K}$  จะไม่มีอิเล็กตรอนในแถบนำ สภาวะเช่นนี้สารกึ่งตัวนำก็คือฉนวนนั่นเอง เมื่ออุณหภูมิสูงขึ้นอิเล็กตรอนได้รับพลังงานความร้อนจะเปลี่ยนสถานะ (state) ของพลังงานจากสถานะที่อยู่ในแถบวาเลนซ์ไปยังสถานะที่อยู่ในแถบนำ และทิ้งสถานะว่าง (vacant state) ไว้ในแถบวาเลนซ์ซึ่งเรียกว่า โฮล (hole) อิเล็กตรอนในแถบวาเลนซ์สามารถเคลื่อนที่ไปแทนสถานะว่างหรือโฮลได้โดยที่อิเล็กตรอนเคลื่อนที่เข้ามาแทนที่โฮลในทิศทางใดทิศทางหนึ่งก็เหมือนกับโฮลเคลื่อนที่ออกไปในทิศทางตรงกันข้าม มองดูคล้ายกับว่าโฮลเป็นประจุไฟฟ้าบวก ทั้งอิเล็กตรอนที่อยู่ในแถบนำและโฮลที่อยู่ในแถบวาเลนซ์จึงเป็นประจุไฟฟ้าที่เคลื่อนที่ได้ (charge carriers) ของสารกึ่งตัวนำ เมื่ออุณหภูมิสูงขึ้นการนำไฟฟ้าของสารกึ่งตัวนำก็ขึ้นเพราะมี



จำนวนประจุไฟฟ้าเคลื่อนที่ได้มากขึ้น เราเรียกสารกึ่งตัวนำที่มีประจุไฟฟ้าที่สามารถนำไฟฟ้าได้ เนื่องจากอุณหภูมิต่ำ สารกึ่งตัวนำอินทรีนซิก จำนวนอิเล็กตรอนในแถบนำและจำนวนโฮลในแถบวาเลนซ์<sup>6</sup> สามารถคำนวณได้จากสมการข้างล่างนี้

$$n = 2(2\pi m_e k_B T/h^2)^{3/2} \exp(\mu - E_g) \beta \quad (1.5.1)$$

$$\text{และ } p = 2(2\pi m_h k_B T/h^2)^{3/2} \exp(-\mu) \beta \quad (1.5.2)$$

เมื่อ  $n$  คือจำนวนอิเล็กตรอนในแถบนำต่อหนึ่งหน่วยปริมาตร

$p$  คือจำนวนโฮลในแถบวาเลนซ์ต่อหนึ่งหน่วยปริมาตร

$m_e$  และ  $m_h$  คือมวลของอิเล็กตรอนและโฮลตามลำดับ

$\mu$  คือระดับพลังงานเฟอร์มี

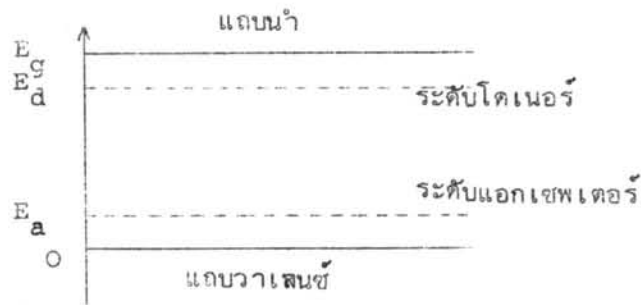
$E_g$  คือระดับพลังงานต่ำสุดของแถบนำ

$$\beta = 1/k_B T$$

ทั้งค่า  $\mu$  และ  $E_g$  วัดจากระดับพลังงานสูงสุดของแถบวาเลนซ์

### 1.5.2 สารกึ่งตัวนำเอกทรีนซิก<sup>5</sup> (Extrinsic semiconductor)

เราสามารถเพิ่มจำนวนประจุไฟฟ้าแก่สารกึ่งตัวนำได้โดยใส่อะตอมของธาตุที่อยู่ในกลุ่มที่ III หรือกลุ่มที่ V ของตารางธาตุลงไปในอัตราส่วนประมาณหนึ่งต่อล้าน อะตอมที่ใส่เข้าไปเรียกอะตอมสิ่งเจือปน (impurity atoms) เรียกสารกึ่งตัวนำประเภทนี้ว่า เอกทรีนซิก ถ้าอะตอมสิ่งเจือปนที่ใส่เข้าไปอยู่ในกลุ่มที่ V เรียกว่า โดเนอร์ (donor) สารกึ่งตัวนำนี้จะเป็นชนิดเอ็น (N - type) คือพาหะที่เป็นตัวนำส่วนมากเป็นอิเล็กตรอนในแถบนำ ถ้าอะตอมสิ่งเจือปนที่ใส่เข้าไปอยู่ในกลุ่มที่ III เรียกว่า แอกเซพเตอร์ (acceptor) สารกึ่งตัวนำนี้จะเป็นชนิดพี (P - type) และพาหะที่เป็นตัวนำส่วนมากเป็นโฮลในแถบวาเลนซ์ อะตอมสิ่งเจือปนที่ใส่เข้าไปนี้ทำให้เกิดระดับพลังงานขึ้นซึ่งอยู่ในแถบห้ามระหว่างแถบวาเลนซ์กับแถบนำ ดังรูปที่ 1.3



รูปที่ 1.3 แสดงระดับของโดเนอร์และแอกเซพเตอร์ในแถบห้ามของสารกึ่งตัวนำ

### 1.5.3 การหาความหนาแน่นของโฮลเนื่องจากแอกเซพเตอร์ถูกไอออนไนซ์ที่อุณหภูมิ $T$

ให้  $N_d$  และ  $N_a$  คือความหนาแน่นของโดเนอร์และแอกเซพเตอร์ต่อหนึ่งหน่วยปริมาตร

$N_d^0$  และ  $N_a^0$  คือความหนาแน่นของโดเนอร์และแอกเซพเตอร์ที่ไม่ถูกไอออนไนซ์ต่อหนึ่งหน่วยปริมาตร

$N_d^+$  และ  $N_a^-$  คือความหนาแน่นของโดเนอร์และแอกเซพเตอร์ที่ถูกไอออนไนซ์ต่อหนึ่งหน่วยปริมาตร

เนื่องจากจำนวนแอกเซพเตอร์ที่ถูกไอออนไนซ์ = จำนวนแอกเซพเตอร์  $\times$  ความน่าจะเป็นที่อิเล็กตรอนจะอยู่ที่  $E_a$

$$\text{นั่นคือ} \quad N_a^- = N_a \frac{1}{1 + \exp(E_a - \mu)\beta}$$

เพราะว่าสารกึ่งตัวนำต้องเป็นกลางทางไฟฟ้า จะได้

$$p + N_d^+ = n + N_a^- \quad (1.5.3)$$

พิจารณาในกรณีที่ไม่ได้โดเนอร์ (คือ  $N_d = 0$ ) และคิดว่าเป็นสารกึ่งตัวนำชนิดพี ดังนั้น

$$p \gg n$$

จากสมการ (1.5.3) เราได้

$$p = N_a^- \quad (1.5.4)$$

จากสมการ (1.5.1)  $p = p_0 \exp(-\mu)\beta$  (1.5.5)

เมื่อ  $p_0 = 2(2 m_h k_B T/h^2)^{3/2}$  แทนค่า  $p$  และ  $N_a^-$  ในสมการ (1.5.4) จะได้

$$p_0 \exp(-\mu)\beta = \frac{N_a}{1 + \exp(E_a - \mu)\beta}$$

$$\left[ \exp(-2\mu)\beta \right] \left[ \exp E_a \beta \right] + \exp(-\mu)\beta - \frac{N_a}{p_0} = 0$$

ถอดสมการข้างบนเราพบว่า

$$\exp(-\mu)\beta = \frac{-1 + \left[ 1 + 4 \frac{N_a}{p_0} \exp E_a \beta \right]^{1/2}}{2 \exp E_a \beta} \quad (1.5.6)$$

แทนค่าสมการ 1.5.6) ใน (1.5.5) เราได้

$$p = \frac{\left[ 1 + 4 \frac{N_a}{p_0} \exp E_a \beta \right]^{1/2} p_0 - p_0}{2 \exp E_a \beta} \quad (1.5.7)$$

ที่อุณหภูมิสูง  $\exp E_a \beta \ll 1$  เราสามารถประมาณสมการ (1.5.7) ให้อยู่ในรูปง่าย ๆ ดังนี้

$$p \approx \frac{\left[ 1 + \frac{1}{2} \frac{N_a}{p_0} \exp E_a \beta \right] p_0 - p_0}{2 \exp E_a \beta}$$

$$p \approx N_a \quad (1.5.8)$$

ที่อุณหภูมิต่ำ  $\exp E_a \beta \gg 1$  สมการ (1.5.7) สามารถประมาณให้อยู่ในรูปดังนี้

$$p \approx p_0 \left[ \frac{N_a}{p_0} \exp \left( -\frac{E_a}{2} \right) \right]$$

$$\approx (p_0 N_a)^{1/2} \exp \left( -\frac{E_a}{2} \right) \quad (1.5.9)$$

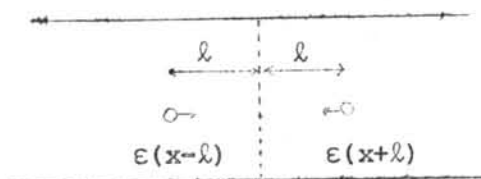
จากสมการ (1.5.8) และ (1.5.9) จะเห็นว่าที่อุณหภูมิสูงความหนาแน่นของโฮลมีค่าคงที่เท่ากับค่าความหนาแน่นของแอกเซพเตอร์ เมื่ออุณหภูมิต่ำความหนาแน่นของโฮลเปลี่ยนไปกับอุณหภูมิ เราสามารถทดสอบการเปลี่ยนแปลงนี้ได้ โดยการวัดความหนาแน่นของพาหะที่อุณหภูมิต่าง ๆ ดังกล่าวแล้วในหัวข้อ 1.4

### 1.6 สภาพนำความร้อนของฉนวน

ในการวิจัยนี้ เราศึกษาถึงการเปลี่ยนแปลงของสภาพนำความร้อนของสารต่าง ๆ ไปด้วย อุณหภูมิ การเปลี่ยนแปลงนี้อธิบายได้โดยทฤษฎีทางฟิสิกส์ของของแข็งซึ่งกล่าวไว้ข้างล่างนี้ ส่วนหลักเกณฑ์ในการวัดจะกล่าวในหัวข้อต่อไป

#### 1.6.1 ทฤษฎีทั่วไปเกี่ยวกับสภาพนำความร้อนของโฟนอน<sup>6</sup>

ในกรณีของฉนวนพาหะที่เคลื่อนย้ายพลังงานความร้อนคือโฟนอน เราอาจหาสภาพนำความร้อนได้โดยใช้ทฤษฎีจลน์ของก๊าซ<sup>7</sup> ขอให้เราพิจารณาในกรณีซึ่งอุณหภูมิ (T) เปลี่ยนไปตามแนว  $x$  ซึ่งเป็นแนวตามความยาวของฉนวน สมมุติว่าโฟนอนวิ่งไปมาคล้าย ๆ กับก๊าซด้วยความเร็ว  $v$  มีพลังงาน  $\epsilon(x)$  ซึ่งเป็นฟังก์ชันของระยะทาง  $x$  ให้โฟนอนมีวิถีอิสระเฉลี่ย (mean free path)  $\ell$  หมายความว่า โดยเฉลี่ยโฟนอนวิ่งไปได้ระยะทาง  $\ell$  ก็ชนกันให้  $N$  เป็นจำนวนโฟนอนต่อหนึ่งหน่วยปริมาตร



รูปที่ 1.4 การเคลื่อนย้ายพลังงานโดยโฟนอนผ่านระนาบ  $x$

จากรูป 1.4 พิจารณาโฟนอนที่เคลื่อนที่มาระนาบ  $x$  จากทางขวามือ หลังจากชนกันครั้งสุดท้ายที่ตำแหน่ง  $x + \ell$  ให้  $Q_1$  เป็นพลังงานที่ถูกเคลื่อนย้ายโดยโฟนอนจากทางขวามือต่อหนึ่งหน่วยเวลาต่อหนึ่งหน่วยพื้นที่มายังระนาบ  $x$  เราจะได้

$$Q_1 = -\frac{1}{6} N v \epsilon(x + \ell) \quad (1.6.1)$$

พิจารณาโฟนอนที่เคลื่อนที่มาระนาบ  $x$  จากทางซ้ายมือ โฟนอนเหล่านี้เกิดการชนกันครั้งสุดท้าย  
ที่ตำแหน่ง  $x - l$  ให้  $Q_2$  เป็นพลังงานที่ถูกเคลื่อนย้ายโดยโฟนอนจากทางซ้ายมือต่อหนึ่งหน่วย  
เวลาต่อหนึ่งหน่วยพื้นที่มายังระนาบ  $x$  นั่นคือ

$$Q_2 = \frac{1}{6} NvE(x-l) \quad (1.6.2)$$

ให้  $Q_x$  เป็นพลังงานรวมทั้งหมดที่ถูกเคลื่อนย้ายโดยโฟนอนต่อหนึ่งหน่วยเวลาต่อหนึ่ง  
หน่วยพื้นที่ จากสมการ (1.6.1) และ (1.6.2) เราได้

$$Q_x = -\frac{1}{6} NvE(x+l) + \frac{1}{6} NvE(x-l) \quad (1.6.3)$$

เนื่องจาก  $l$  มีค่าน้อย เราสามารถกระจายเทอม  $E(x+l)$  และ  $E(x-l)$  ในรูป  
ของเทย์เลอร์ซีรีส์ (Taylor's series) ได้ ดังนั้นจากสมการ (1.6.3) จะได้

$$\begin{aligned} Q_x &= -\frac{1}{6} Nv \left[ E(x) + l \frac{\partial E(x)}{\partial x} + \dots \right] + \frac{1}{6} Nv \left[ E(x) - l \frac{\partial E(x)}{\partial x} + \dots \right] \\ &= -\frac{1}{3} Nvl \frac{\partial E(x)}{\partial x} \\ &= -\frac{1}{3} Nvl \frac{\partial E(x)}{\partial T} \frac{\partial T}{\partial x} \\ &= -\frac{1}{3} vl \frac{\partial NE(x)}{\partial T} \frac{\partial T}{\partial x} \end{aligned} \quad (1.6.4)$$

เมื่อ  $NE(x)$  คือพลังงานของโฟนอนทั้งหมดในหนึ่งหน่วยปริมาตร เนื่องจากความร้อนจำเพาะ  
 $C \equiv \frac{\partial E}{\partial T}$  เมื่อ  $E$  เป็นพลังงานรวมทั้งหมด ดังนั้น  $C = \frac{\partial NE(x)}{\partial T}$  จากสมการ  
(1.6.4) เราได้

$$Q_x = -\frac{1}{3} vlC \frac{\partial T}{\partial x} \quad (1.6.5)$$

เนื่องจาก  $Q = -K(T) \frac{dT}{dx}$  (1.6.6)

เมื่อ  $K(T)$  คือสภาพนำความร้อนและ  $Q$  เป็นอัตราการไหลของปริมาณความร้อนต่อหนึ่งหน่วยพื้นที่เทียบสมการ (1.6.5) กับ (1.6.6) เราได้

$$K(T) = \frac{1}{3} C v \lambda \quad (1.6.7)$$

เนื่องจาก  $v = \frac{\partial \omega}{\partial k}$  ซึ่งมีค่าไม่ขึ้นกับอุณหภูมิ ดังนั้นสภาพนำความร้อนจะเปลี่ยนไปกับอุณหภูมิตาม  $C$  และ  $\lambda$  ที่อุณหภูมิห้อง  $C$  มีค่าคงที่  $\lambda$  เท่านั้นที่เปลี่ยนไปกับอุณหภูมิ นั่นคือ  $K(T)$  จะเปลี่ยนไปกับอุณหภูมิตามค่า  $\lambda$  เพราะว่า  $\lambda$  เป็นสัดส่วนโดยตรงกับ (จำนวนโฟนอน) หรือ  $\frac{1}{N}$  เนื่องจาก

$$N = \int_0^{\infty} D(\omega) \langle n \rangle d\omega \quad (1.6.8)$$

เมื่อ  $D(\omega) d\omega$  คือความหนาแน่นของโหมด (mode) ของการสั่นที่มีความถี่ระหว่าง  $\omega$  กับ  $\omega + d\omega$   $\langle n \rangle$  เป็นจำนวนโฟนอนต่อโหมด ซึ่งกำหนดโดย

$$\langle n \rangle = \frac{1}{\exp(\hbar\omega/k_B T) - 1} \quad (1.6.9)$$

กรณีที่อุณหภูมิห้อง  $k_B T \gg \hbar\omega$  สมการ (1.6.9) ประมาณได้เป็น

$$\langle n \rangle \approx \frac{k_B T}{\hbar\omega}$$

แทนค่า  $\langle n \rangle$  ในสมการ (1.6.8) ได้

$$N \approx \int_0^{\infty} D(\omega) \frac{k_B T}{\hbar\omega} d\omega$$

หรือ  $N \propto T$

ดังนั้น  $\lambda \propto \frac{1}{T}$  นั่นคือ  $K(T) \propto \frac{1}{T}$  ที่อุณหภูมิห้อง

สำหรับวัสดุที่เป็นอสัณฐาน (amorphous) เช่นแก้ว แลหิสของผลึกเรียงตัวไม่เป็นคาบ (period)  $l$  จะคงที่ไม่เปลี่ยนแปลงไปกับอุณหภูมิและมีค่าอยู่ในช่วงของระยะห่างระหว่างอะตอม ดังนั้น  $K(T)$  จะเปลี่ยนแปลงไปกับอุณหภูมิตามค่า  $C$  เนื่องจากที่อุณหภูมิต้อง  $C$  มีค่าคงที่ จะได้ว่า  $K(T)$  มีค่าคงที่ไม่เปลี่ยนแปลงไปกับอุณหภูมิ

### 1.6.2 หลักการในการวัดสภาพนำความร้อน

เนื่องจากอัตราการไหลของปริมาณความร้อนในผลึกเป็นสัดส่วนโดยตรงกับเกรเดียนท์ของอุณหภูมิที่เกิดขึ้นในผลึกและพื้นที่หน้าตัด นั่นคือ

$$\dot{Q} = -K(T) A \frac{dT}{dx} \quad (1.6.10)$$

เมื่อ  $\dot{Q}$  เป็นอัตราการไหลของปริมาณความร้อน,  $A$  เป็นพื้นที่หน้าตัดของสารตัวอย่าง และ  $K(T)$  เป็นสภาพนำความร้อนของสาร เครื่องหมายลบชี้ให้เห็นว่า ความร้อนไหลจากอุณหภูมิต่ำไปสู่อุณหภูมิสูง ถ้าให้สารตัวอย่างยาว  $L$  และปลายล่างมีอุณหภูมิตั้งที่  $T_0$  จากสมการ (1.6.10) เราได้

$$\frac{\dot{Q}}{A} \int_0^L dx = \int_{T_0}^T K(T) dT \quad (\text{ไม่คิดเครื่องหมายลบ})$$

$$\dot{Q} = \frac{A}{L} \int_{T_0}^T K(T) dT$$

$$\frac{\partial \dot{Q}}{\partial T} = \frac{A}{L} K(T)$$

$$K(T) = \frac{L}{A} \left( \frac{d\dot{Q}}{dT} \right) \quad (1.6.11)$$

ถ้าเขียนกราฟระหว่าง  $\dot{Q}$  กับ  $T$  และจากความชันของกราฟนี้คูณกับ  $\frac{L}{A}$  ก็จะทราบค่า  $K(T)$  ของสาร ดังแสดงในสมการข้างบน

ในการทดลองเราเข้าขณะทดลองในน้ำแข็งและน้ำแข็งแท่ง นั่นคือ  $T_0$  เป็นอุณหภูมิของน้ำแข็งและน้ำแข็งแท่ง เพื่อเปรียบเทียบสภาพนำความร้อนของสารตัวอย่างที่อุณหภูมิต่าง ๆ รายละเอียดเกี่ยวกับการทดลองและผลการทดลองได้กล่าวไว้ในบทที่ 3